

بررسی تأثیر آمونیوم اگزالات / استرانسیم کربنات بر حساسیت دمایی سرعت سوزش پیشرانه‌های جامد مركب

نواب فتحی^۱، محمدعلی دهنوی^{۲*}

تهران - دانشگاه جامع امام حسین (ع)

(تاریخ وصول: ۹۱/۰۹/۱۱، تاریخ پذیرش: ۹۱/۱۲/۱۶)

چکیده

در این تحقیق تأثیر افزودنی‌هایی از قبیل آمونیوم اگزالات (AO) و مخلوط آمونیوم اگزالات / استرانسیم کربنات (SC) بر پیشرانه‌های مركب بر پایه $AP/HTPB$ با آزمایش‌های سرعت سوزش، DTA ، چگالی و دمای خود اشتعالی مورد بررسی قرار گرفته است. نتایج به دست آمده نشان داد که با افزودن این مواد، سرعت سوزش این پیشرانه‌ها به طور ویژه‌ای کاهش می‌یابد. نتایج آنالیز حرارتی تفاضلی (DTA) و دمای خود اشتعالی نشان داد که دمای تجزیه AP و دمای خود اشتعالی به ترتیب با این افزودنی‌ها افزایش یافته است. حساسیت دمایی سرعت سوزش پیشرانه‌های مركب بر پایه $AP/HTPB$ ، به میزان قابل توجهی با افزودن آمونیوم اگزالات یا مخلوط آمونیوم اگزالات / استرانسیم کربنات کاهش می‌یابد. اثر آمونیوم اگزالات نسبت به مخلوط آمونیوم اگزالات / استرانسیم کربنات کمتر می‌باشد. در پیشرانه‌های $AP/HTPB/AO$ ، کاهش میزان حرارت آزاد شده در سطح سوزش سبب کاهش حساسیت دمایی می‌شود. در پیشرانه‌های $AP/HTPB/SC/AO$ و AO ، سبب کاهش حرارت آزاد شده و افزایش دمای سطح سوزش و کاهش حساسیت دمایی سرعت سوزش می‌شود. مقایسه نتایج با آنچه قبل از این تحقیق با آنچه قبلاً گزارش شده نشان داد که فرمولاسیون پیشرانه با ۴٪ آمونیوم اگزالات حساسیت دمایی را به مقدار ۴/۱ درصد بیشتر کاهش داده است.

واژه‌های کلیدی: پیشرانه‌های مركب، سرعت سوزش، DTA . حساسیت دمایی، آمونیوم اگزالات، استرانسیم کربنات.

طراحی موتور است [۱-۴]. ضریب حساسیت دمایی سرعت سوزش در فشار ثابت محفظه احتراق به صورت زیر نمایش داده می‌شود [۵-۷]:

$$\sigma_p = \frac{1}{r} \left[\frac{\partial r}{\partial T_0} \right]_p = \left[\frac{\partial \ln r}{\partial T_0} \right]_p \quad (1)$$

که در اینجا r (m/s) سرعت سوزش پیشرانه جامد، T_0 دمای اولیه

۱- مقدمه

حساسیت دمایی^۳ سرعت سوزش به دمای اولیه پیشرانه به صورت درصد تغییر سرعت سوزش به ازای درجه تغییرات دمای پیشرانه در یک محدوده دمایی از فشار ثابت محفظه احتراق تعریف می‌شود و با علامت σ_p نمایش داده می‌شود. σ_p نتیجه اثرات فرمولاسیون پیشرانه به وابستگی دمایی سرعت سوزش را اندازه می‌گیرد که مستقل از

* E-mail: mdehnavi@iust.ac.ir

۱- دانشجوی کارشناسی ارشد

۲- استادیار

3- Temperature Sensitivity

منجر به کاهش حساسیت دمایی می‌شود. آتود و همکارانش [۱۳]، اثر فشار بر حساسیت دمایی سرعت سوزش AP^۱, HMX^۲, RDX^۳, ADN^۴, CL-20^۵ و HNF^۶ را مورد مطالعه قرار دادند. نتایج آزمایشات آن‌ها نشان داد، هنگامی که فشار افزایش یابد حساسیت دمایی سرعت سوزش کاهش می‌یابد و این مورد اغلب برای CL-20 مشاهده می‌شود و AP تنها استثناء برای این مشاهدات بود. نتایج آنها نشان داد که RDX در فشارهای زیر ۴ MPa، کمترین مقدار حساسیت دمایی را دارا می‌باشد.

کولکارنی^۷ و همکارانش [۱۴]، تأثیر برخی افزودنی‌های فلزی از قبیل لیتیوم فلوراید، استرانسیم کربنات، کرومیت مس و اکسید آهن و همچنین تأثیر درصد این افزودنی‌ها بر حساسیت دمایی را بررسی کردند. نتایج آزمایشات آن‌ها نشان داد که اکسید آهن می‌تواند به طور همزمان سبب افزایش سرعت سوزش و کاهش حساسیت دمایی شود. لی^۸ و همکارانش [۱۷]، تأثیر افزودن آمونیوم اگزالات و مخلوط آمونیوم اگزالات/استرانسیم کربنات بر حساسیت دمایی سرعت سوزش پیشرانه‌های مرکب بر پایه AP/HTPB را مورد مطالعه قرار دادند. نتایج آزمایشات آن‌ها نشان داد که در حضور آمونیوم اگزالات یا مخلوط آمونیوم اگزالات/استرانسیم کربنات، حساسیت دمایی سرعت سوزش به میزان قابل توجهی کاهش می‌یابد. شواهد حاکی از آن است که حساسیت دمایی با افزودن مخلوط آمونیوم اگزالات/استرانسیم کربنات در مقایسه با آمونیوم اگزالات، به میزان بیشتری کاهش می‌یابد.

به طور معمول برای متغیرهای مؤثر بر حساسیت دمایی توافق عمومی وجود ندارد، اما تجربه نشان داده است که حساسیت دمایی با دمای اولیه تغییر می‌کند. حساسیت دمایی سرعت سوزش به وسیله برخی عوامل نظیر دمای اولیه پیشرانه، فشار، درصد و اندازه ذرات اکسیدکننده، درصد و اندازه ذرات سوخت فلزی، نوع بایندر و افزودنی‌ها تحت تأثیر قرار می‌گیرد.

سرعت سوزش پیشرانه‌های جامد به دمای اولیه پیشرانه بستگی دارد. از آنجا که سرعت سوزش از طریق میزان حرارت منتقل شده از فاز گازی به سطح سوزش و حرارت تولید شده در سطح سوزش تعیین می‌شود، در نتیجه اثرات تغییرات دمای اولیه پیشرانه بر سطح سوزش به تعادل حرارتی در سطح سوزش پیشرانه بستگی دارد. به طور کلی سرعت واکنش‌های شیمیایی با افزایش دما افزایش می‌یابد و نشان دهنده این است که سرعت واکنش موج احتراق پیشرانه جامد با افزایش دمای اولیه پیشرانه افزایش می‌یابد [۱۴ و ۱۰، ۳، ۲]. تأثیر دمای اولیه بر سرعت سوزش می‌تواند به صورت‌های زیر باشد [۷]:

p فشار تعادلی محفظه احتراق می‌باشد. در این معادله K ، دارای واحد $(K/1)$ می‌باشد. حساسیت دمایی سرعت سوزش یک پارامتر مهم برای تولیدکنندگان پیشرانه و طراحان موشک می‌باشد، چرا که مستقیماً بر دقت و عملکرد و هزینه سیستم پیشرانش تأثیر می‌گذارد. مشخص شده است که مقادیر پایین حساسیت دمایی علاوه بر اینکه باعث عملکرد مطلوب موشک‌ها و راکتها در محدوده وسیعی از دمایها می‌شود، در کاهش هزینه سیستم‌های تسلیحاتی و موشکی بسیار مؤثر می‌باشد. بررسی‌ها نشان می‌دهد که حساسیت دمایی سرعت سوزش در مکانیسم احتراق و نیز مناسب کردن ویژگی‌های بالستیکی پیشرانه نقش کلیدی ایفاء می‌کند چرا که کاهش حساسیت دمایی سرعت سوزش، پایداری احتراق در موتورهای راکت را افزایش داده که نتیجه آن بهبود خواص بالستیکی می‌باشد [۳، ۵-۸].

کوبوتا و اکوهارا [۹] حساسیت دمایی پیشرانه‌های دویایه مرکب اصلاح شده حاوی سیکلوترامیلن تترانیترامین (CMDB-HMX) را مورد مطالعه قرار دادند. نتایج آزمایشات آن‌ها نشان داد، هنگامی که کسر جرمی HMX در فشار ثابت افزایش یابد، حساسیت دمایی سرعت سوزش کاهش می‌یابد.

همچنین کوبوتا و میازاکی [۱۰] اثر اندازه ذرات AP و کاتالیست بر حساسیت دمایی سرعت سوزش پیشرانه‌های مرکب AP/HTPB را مورد مطالعه قرار دادند که حساسیت دمایی اندازه ذرات AP کاهش می‌یابد و از طرف دیگر، حساسیت دمایی سرعت سوزش با افزودن ۲-بیس (اتیل فروسنیل) پروپان (BEFP) در AP نیز کاهش می‌یابد. شواهد حاکی از آن است که حساسیت دمایی با افزودن BEFP در مقایسه با افزودن ذرات ریز AP، به طور مؤثرتری کاهش می‌یابد.

کوبوتا و میاتا [۱۱] اثر افزودن استرانسیم کربنات بر حساسیت دمایی سرعت سوزش پیشرانه‌های AP/HTPB را مورد مطالعه قرار دادند. آن‌ها مشاهده کردند که با افزودن ۲٪ استرانسیم کربنات در فشار ۱ MPa دمای سطح سوزش افزایش یافته و مقدار ۵ کاهش می‌یابد.

نگوین [۳]، تأثیر متغیرهای فرمولاسیون پیشرانه از قبیل دما و فشار، درصد و توزیع اندازه ذرات AP، اندازه و درصد سوخت فلزی، بایندر و افزودنی‌ها بر حساسیت دمایی سرعت سوزش را در پیشرانه‌های آلومینیوم‌دار و بدون آلومینیوم و همچنین در پیشرانه‌های GAP مورد مطالعه قرار داد. همین محقق [۱۲] تأثیر افزودن ترکیبات فروسنی (کاتوسن و بوتانس) بر حساسیت دمایی سرعت سوزش پیشرانه‌های AP/HTPB را بررسی کرد و نشان داد که افزودن ترکیبات فروسنی

1- Ammonium Perchlorate

2- Cyclotetramethylene Tetranitramine

3- Ammonium Dinitramide

4- Cyclotrimethylene Trinitramine

5- Hexanitrohexaazatetracyclododecane

6- Hydrazinium Nitroformate

7- Kulkarni

8- Li

هدف از این تحقیق بررسی تأثیر آمونیوم اگزالات و مخلوط آمونیوم اگزالات/استرانسیم کربنات بر حساسیت دمایی سرعت سوزش پیشرانه‌های جامد مرکب بر پایه AP/HTPB می‌باشد.

۲- بخش تجربی

در این تحقیق برای تولید فرمولاسیون‌های پیشرانه از آمونیوم پرکلرات به عنوان اکسیدکننده، HTPB به عنوان بایندر و از آلومینیوم با اندازه ذره $14 \mu\text{m}$ به عنوان سوخت فلزی استفاده گردید. ذرات آمونیوم و پرکلرات استفاده شده در این تحقیق در دو اندازه ذره $400 \mu\text{m}$ و $80 \mu\text{m}$ و نسبت درشت به ریز ذرات آمونیوم پرکلرات $80/200$ بود. آمونیوم اگزالات و مخلوط آمونیوم اگزالات/استرانسیم کربنات با بخشی از آمونیوم پرکلرات جایگزین گردیدند. باستی به این نکته توجه داشت که نسبت آمونیوم اگزالات به استرانسیم کربنات در مخلوط آمونیوم اگزالات/استرانسیم کربنات، $1/3$ می‌باشد. در جدول ۱، اجزاء، ترکیب درصد، چگالی نهایی و دمای خود اشتعالی پیشرانه‌های مرکب تهیه شده در این تحقیق آمده است.

جدول ۱- اجزاء، ترکیب درصد، چگالی نهایی و دمای خود اشتعالی پیشرانه‌های مرکب تهیه شده.

ردیف	نام	دما ^{°C}	اجزاء فرمولاسیون (%)						نام	
			آمونیوم اگزالات	آلومینیوم اگزالات	پرکلرات	HTPB	آمونیوم پرکلرات	آمونیوم اگزالات	آمونیوم اگزالات	
۳۰۲/۱	۱/۷۱۲	--	--	۱۷	۱۵	۶۸				پایه
۳۰۳/۱	۱/۷۰۸	--	۴	۱۷	۱۵	۶۴				A-2
۳۰۵/۸	۱/۷۱۵	۴	-	۱۷	۱۵	۶۴				S-2

فرمولاسیون‌های پیشرانه تولید شده در معرض آزمون‌های سرعت سوزش، چگالی، دمای خود اشتعالی و آنالیز حرارتی دیفرانسیلی (DTA) قرار گرفتند. آزمون سرعت سوزش با دستگاه بمب کرافورد بر اساس استاندارد MIL-STD-286C Rev:2010 در فشار ثابت 70 bar و در سه دمای $+25^{\circ}\text{C}$ ، $+60^{\circ}\text{C}$ و $+25^{\circ}\text{C}$ انجام گردید. جهت انجام آزمون خود اشتعالی از فرمولاسیون‌های نیم گرمی استفاده شد و نرخ حرارت دهی $10^{\circ}\text{C}/\text{min}$ بود. آزمایش‌های آنالیز حرارتی دیفرانسیلی (DTA) با دستگاه آنالیز کننده‌ی TG/DTA 6300، ساخت شرکت زاپنی SII نانوتکنولوژی انجام شدند. وزن فرمولاسیون مورد استفاده در این دستگاه حدکثر 2000 mg بوده و محدوده‌ی دمای عملکردی دستگاه از دمای اتاق تا 1300°C می‌باشد. آنالیز حرارتی دیفرانسیلی (DTA) به منظور درک اثر بازدارندگی آمونیوم اگزالات و مخلوط آمونیوم اگزالات/استرانسیم کربنات بر سرعت سوزش پیشرانه‌های مرکب AP/HTPB به

الف) هنگامی که دمای اولیه تغییر می‌کند، میزان حرارت جذب شده توسط پیشرانه نیز تغییر کرده که این امر به علت تغییر در حرارت خالص آزاد شده از فاز متراکم و تغییر سرعت سوزش می‌باشد.

ب) هنگامی که دمای اولیه کاهش می‌یابد، دمای شعله نهایی و همچنین شار حرارتی از فاز گازی به سطح سوزش نیز کاهش یافته و در نتیجه سرعت سوزش کاهش می‌یابد.

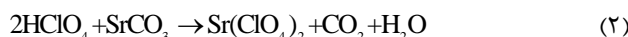
ج) هنگامی که دمای اولیه پیشرانه کاهش می‌یابد، ذرات اکسیدکننده طریق واکنش گرمائیر افزایش یافته و در نتیجه سرعت سوزش کاهش می‌یابد.

د) هنگامی که دمای اولیه پیشرانه کاهش می‌یابد، ذرات اکسیدکننده حرارت داده شده، در مدت زمان کوتاه به سختی ذوب می‌شوند. این کاهش در کسر AP تجزیه شده در لایه زیرسطحی^۱ و همچنین کسر AP واکنش دهنده با بایندر باعث می‌شود، حرارت آزاد شده از واکنش فاز متراکم کاهش یابد که نتیجه آن کاهش سرعت سوزش می‌باشد.

تحقیقات انجام شده نشان می‌دهد که با افزایش درصد AP، کاهش اندازه ذرات AP و کاهش فشار می‌توان حساسیت دمایی را کاهش داد. این موضوع به ساختار شعله نفوذی ایجاد شده در سطح سوزش نسبت داده می‌شود. از آنجا که شعله نفوذی اولیه برپایه برهمکنش میان گازهای حاصل از تجزیه اکسیدکننده و سوخت تشکیل می‌شود، بنابراین اندازه ذره اکسیدکننده مستقیماً بر میزان حرارت برگشتی و همچنین سرعت سوزش تأثیرگذار می‌باشد. در صورتی که درصد AP در فرمولاسیون پیشرانه ثابت بماند، سرعت سوزش با کاهش اندازه ذرات AP افزایش می‌یابد، هر چند که اثر اندازه ذرات در فشارهای بالاتر کاهش می‌یابد. افزایش در درصد AP و کاهش اندازه ذرات AP، علاوه بر افزایش سرعت سوزش، سبب افزایش دمای سطح و دمای شعله نیز می‌شود [۱۵-۱۸ و ۱، ۳].

جاگری‌بینی AP با آلومینیوم، سبب افزایش 5°C می‌شود، چرا که دمای شعله نفوذی، سرعت سوزش و دمای سطح همگی کاهش می‌یابند که نتیجه کلی آن‌ها افزایش حساسیت دمایی می‌باشد. با این وجود تأثیر درصد آلومینیوم به شدت به توزیع اندازه ذرات AP بستگی دارد [۱۶ و ۱۵، ۳]. حساسیت دمایی سرعت سوزش پیشرانه‌های AP/HTPB، با افزودن آمونیوم اگزالات یا مخلوط آمونیوم اگزالات/استرانسیم کربنات کاهش می‌یابد. با توجه به مطالعات گسترده مشخص شده است که تعديل کننده‌های بالستیکی عمده‌ای در فاز متراکم فعالیت می‌کنند. بنابراین حساسیت دمایی واکنش فاز متراکم نقش برجسته‌تری را در 5°C ، نسبت به واکنش‌های فاز گازی ایفا می‌کند. حساسیت دمایی واکنش فاز گازی نسبتاً مستقل از خواص فیزیکی و شیمیایی اجزای ترکیبی پیشرانه می‌باشد و در نتیجه اثر کمتری بر 5°C دارد [۱۱ و ۷].

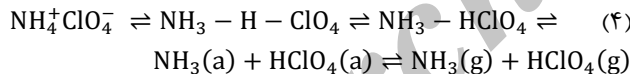
خود اشتعالی فرمولاسیون پایه ($302/1^{\circ}\text{C}$) است. با توجه به اینکه فرمولاسیون «S-2» دارای آمونیوم اگزالات و استرانسیم کربنات می‌باشد، تأثیر آمونیوم اگزالات بر دمای خود اشتعالی در بالا توضیح داده شد. حال تأثیر استرانسیم کربنات بر دمای خود اشتعالی را مورد بررسی قرار می‌دهیم. استرانسیم کربنات ماده‌ای است که دمای تجزیه بالایی داشته و در واکنش تجزیه AP به صورت زیر واکنش می‌دهد:



SrCl_2 حاصل از تجزیه $\text{Sr}(\text{ClO}_4)_2$ ، سطح سوزش را پوشانده و از تجزیه AP در فاز متراکم جلوگیری می‌کند. در نتیجه سبب افزایش دمای اشتعال، دمای تجزیه و انرژی فعال‌سازی AP می‌شوند.

۳-۳- آنالیز حرارتی تفاضلی^۱ (DTA)

آنالیز حرارتی تفاضلی به منظور درک اثر افزودن آمونیوم اگزالات یا مخلوط آمونیوم اگزالات/ استرانسیم کربنات بر دمای تجزیه آمونیوم پرکلرات و همچنین برای بررسی تأثیر افزودنی‌های مذکور بر سرعت سوزش پیشانه‌های مرکب بر پایه AP/HTPB به کار می‌رود. در مورد فرمولاسیون پایه، در محدوده دمایی 200 الی 250°C پیک گرمگیری مشاهده می‌شود (شکل ۱) که مربوط به تغییر شکل فازی از ساختمان کربستالی ارتوروموبیک به مکعبی می‌باشد. در محدوده دمایی 250 الی 350°C پیک گرممازای مشاهده شده متناظر با تجزیه جزئی AP و تشکیل حدواتسط $\text{NH}_3:\text{HClO}_4$ می‌باشد. در واکنش (۴) مکانیسم انتقال پروتون تجزیه مرحله اول آمونیوم پرکلرات نشان داده شده است [۲۱ و ۲۲].



مطابق مکانیسم گزارش شده به وسیله محققین، مرحله اول شامل جفت شدن یون‌ها در شبکه آمونیوم پرکلرات می‌باشد. مرحله دوم مرحله‌ای است که انتقال پروتون از کاتیون NH_4^+ به آنیون ClO_4^- شروع شده و یک کمپلکس مولکولی تشکیل می‌شود. در مرحله بعد این کمپلکس به آمونیاک و پرکلریک اسید تجزیه می‌شود. مولکول‌های NH_3 و HClO_4 هر کدام در لایه‌ی جذبی روی سطح پرکلرات واکنش داده یا دفع شده و برهم‌کنش تصعید در فاز گازی صورت می‌گیرد [۲۳]. پیک گرممازای مشاهده شده در دماهای بالای 350°C ، مربوط به تجزیه کامل ترکیبات حدواتسط به محصولات فرآری از قبیل CO_2 , CO , N_2 و H_2O می‌باشد که در معادله واکنش (۵) نشان داده شده است که در اینجا H_2C_m , پلیمر هیدروکربنی (HTPB) می‌باشد [۲۴].

کار می‌رود. در این تحقیق، رفتار تجزیه حرارتی فرمولاسیون‌های پیشانه تهیه شده با استفاده از آزمایش DTA، در محدوده دمایی 30 الی 600°C تحت اتمسفر نیتروژن (20 ml/min) و با نرخ حرارت $5^{\circ}\text{C}/\text{min}$ مورد بررسی قرار گرفت.

۳- نتایج و بحث

۳-۱- چگالی

چگالی مربوط به فرمولاسیون «A-2» ($\rho = 1/708 \text{ g/cm}^3$) از چگالی فرمولاسیون پایه ($\rho = 1/712 \text{ g/cm}^3$) کمتر می‌باشد (جدول ۱). این مسئله می‌تواند ناشی از جایگزینی ذرات آمونیوم پرکلرات با چگالی بالاتر ($\rho = 1/950 \text{ g/cm}^3$) از ذرات آمونیوم اگزالات ($\rho = 1/577 \text{ g/cm}^3$) باشد که سبب کاهش چگالی نهایی می‌شود. چگالی فرمولاسیون «S-2» ($\rho = 1/715 \text{ g/cm}^3$) به مقدار جزئی از چگالی فرمولاسیون پایه ($\rho = 1/712 \text{ g/cm}^3$) بیشتر است. این افزایش جزئی به این دلیل است که از یک طرف، جایگزینی ذرات آمونیوم پرکلرات با چگالی پایین‌تر ($\rho = 1/95 \text{ g/cm}^3$) نسبت به ذرات است، جایگزینی ذرات آمونیوم پرکلرات با چگالی بالاتر نسبت به ذرات آمونیوم اگزالات سبب کاهش چگالی می‌شود. نتیجه این دو اثر متقابل، به دلیل درصد بالاتر استرانسیم کربنات نسبت به آمونیوم اگزالات در فرمولاسیون «S-2»، افزایش جزئی چگالی نهایی می‌باشد.

۳-۲- دمای خود اشتعالی

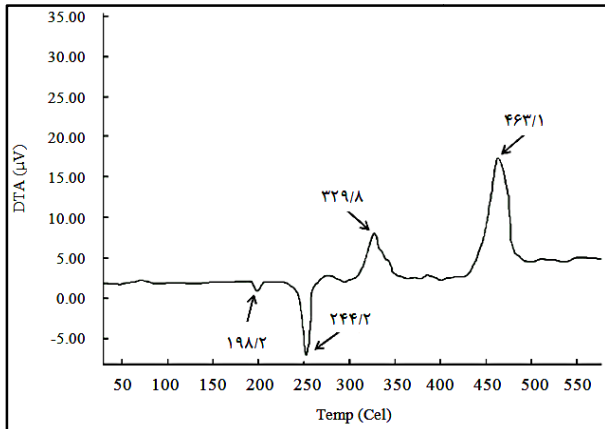
این آزمون جهت اندازه‌گیری دمای آتش‌گیری خود به خود پیشانه به دو طریق حرارت دادن منظم و ناگهانی صورت می‌گیرد. این آزمون‌ها حداکثر دمایی را که پیشانه تولید یا مصرف می‌تواند در معرض آن قرار گیرد، مشخص می‌کند. نتایج دمای خود اشتعالی فرمولاسیون‌های پیشانه تولید شده در جدول (۳) آمده است

دمای خود اشتعالی فرمولاسیون «A-2» ($303/1^{\circ}\text{C}$), بالاتر از دمای خود اشتعالی فرمولاسیون پایه ($302/1^{\circ}\text{C}$) می‌باشد (جدول ۱). با توجه به اینکه دمای تجزیه آمونیوم اگزالات ($198/2^{\circ}\text{C}$) پایین می‌باشد، محصولات تجزیه آمونیوم اگزالات (CO_2 , H_2O , NH_3 و CO) باعث جابجایی موازن و اکتش شیمیایی تجزیه AP به سمت چپ می‌شوند و بدین ترتیب از تجزیه AP جلوگیری می‌کنند، در نتیجه سبب افزایش دمای اشتعال، دمای تجزیه و انرژی فعال‌سازی AP می‌شوند و این‌ها همگی مؤید این مطلب هستند که سرعت سوزش با افزودن آمونیوم اگزالات کاهش می‌یابد [۲۰ و ۱۹].

دمای خود اشتعالی فرمولاسیون «S-2» ($305/8^{\circ}\text{C}$) نیز بالاتر از دمای

1- Differential Thermal Analysis (DTA)

ترکیبات حدواسط به محصولات گازی فرآراز قبیل CO_2 , CO , N_2 و NH_3 می‌باشد. در اینجا نیز مشهود است که افزودن آمونیوم اگزالات در فرمولاسیون پیشرانه «A-2» سبب افزایش دمای این پیک گرمایشی به میزان 10°C در مقایسه با فرمولاسیون پایه شده است. به طور کلی دمای پیک گرمایشی بالای آمونیوم پرکرات به واکنش‌های فاز گازی بستگی دارد. محصولات تجزیه آمونیوم اگزالات مانند CO_2 و H_2O سبب کاهش غلظت HClO_4 شده و از طرفی سبب کاهش میزان انتقال حرارت از فاز گازی به سطح سوزش می‌شوند که نتیجه کلی آن‌ها افزایش دمای پیک گرمایشی بالای آمونیوم پرکرات می‌باشد.

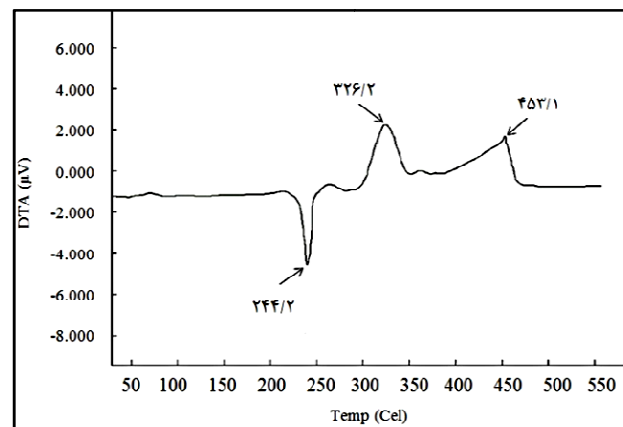
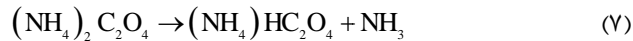
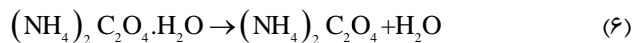


شکل ۲- منحنی DTA برای فرمولاسیون پیشرانه «A-2».

از آنجا که فرآیند تجزیه حرارتی مرحله اول AP فرآیند انتقال پروتون می‌باشد، لذا اثر بازدارندگی مخلوط آمونیوم اگزالات/استرانسیم کربنات به طور عمده در دمای تجزیه بالا مشاهده می‌شود و بر مرحله اول تأثیرگذار نمی‌باشد. در مورد فرمولاسیون پیشرانه «S-2»، پیک گرمایشی مشاهده شده در $244/2^\circ\text{C}$ (شکل ۳) مربوط به تغییر شکل فازی آمونیوم پرکرات از ساختمان کریستالی ارتورومبیک به مکعبی می‌باشد. تأثیر آمونیوم اگزالات بر تجزیه AP بررسی شد. حال ابتدا تأثیر استرانسیم کربنات و سپس تأثیر مخلوط آمونیوم اگزالات/استرانسیم کربنات بر فرآیند تجزیه AP را مورد بررسی قرار می‌دهیم. استرانسیم کربنات ماده‌ای است که دمای تجزیه بالایی دارد. آنالیز حرارتی استرانسیم کربنات خالص نشان داده است که اتلاف جرمی اولیه در دمای $761/5^\circ\text{C}$ رخ داده و دمای پیک ظاهر شده در حدود $534/3^\circ\text{C}$ می‌باشد. اما شکل (۳) نشان می‌دهد، دمای پیکنهایی فقط 245°C می‌باشد. بنابراین می‌توان نتیجه گرفت که استرانسیم کربنات در فرآیند تجزیه AP مطابق معادله واکنش (۲) شرکت می‌کند و دمای $534/3^\circ\text{C}$ بایستی مربوط به دمای پیک تجزیه $\text{Sr}(\text{ClO}_4)_2$ باشد. تشکیل $\text{Sr}(\text{ClO}_4)_2$ با طیف سنجی مادون قرمز تبدیل فوریه (FTIR) تأیید شده است [۷].



در مورد فرمولاسیون پیشرانه «A-2» پیک گرمایشی مشاهده شده در $198/2^\circ\text{C}$ (شکل ۲) مربوط به تجزیه آمونیوم اگزالات مطابق معادله واکنش‌های (۶) تا (۸) می‌باشد.



شکل ۱- منحنی DTA برای فرمولاسیون پایه.

از آنجا که فرآیند تجزیه حرارتی مرحله اول AP فرآیند انتقال پروتون می‌باشد، لذا اثر بازدارندگی آمونیوم اگزالات به طور عمده در دمای تجزیه بالا مشاهده می‌شود و بر مرحله اول تأثیرگذار نمی‌باشد. پیک گرمایشی مشاهده شده در $244/2^\circ\text{C}$ مربوط به تغییر شکل فازی آمونیوم پرکرات از ساختمان کریستالی ارتورومبیک به مکعبی می‌باشد. پیک گرمایشی مشاهده شده در $249/8^\circ\text{C}$ مربوط به تجزیه جزئی AP و تشکیل حدواسط می‌باشد. افزودن آمونیوم اگزالات در فرمولاسیون «A-2» سبب افزایش دمای پیک گرمایشی به میزان $3/6^\circ\text{C}$ در مقایسه با فرمولاسیون پایه شده است. دلیل این مشاهدات آن است که محصولات تجزیه آمونیوم اگزالات (CO_2 و H_2O , NH_3) باعث جایجایی موازن و واکنش شیمیایی تجزیه AP به سمت چپ می‌شوند و بدین ترتیب از تجزیه AP جلوگیری می‌کنند. از دید ترمودینامیکی مطابق معادله تغییر انرژی آزاد گیبس در سیستم، $\Delta G = \Delta H - T\Delta S$ ، برای آنکه واکنشی به صورت خود به خود انجام شود بایستی $\Delta G < 0$ باشد. $\Delta G = \Delta H - T\Delta S$ دو با دما تغییر می‌کنند، ولی میزان تغییرات ΔH با دما کمتر می‌باشد. از طرفی ΔS نسبت به ΔH کوچک‌تر می‌باشد. از این رو با افزایش دمای تجزیه، عبارت $(-\Delta H - T\Delta S)$ به تدریج در تعیین علامت و مقدار ΔG حائز اهمیت می‌شود و این نشان دهنده آن است که چرا دمای پیک گرمایشی پایینی تجزیه آمونیوم پرکرات با افزودن آمونیوم اگزالات افزایش می‌باشد.

پیک گرمایشی مشاهده شده در $463/1^\circ\text{C}$ مربوط به تجزیه کامل

مشاهده شده در $461/2^{\circ}\text{C}$ مربوط به تجزیه کامل ترکیبات حدواسط به محصولات فرآرای از قبیل CO_2 , N_2 و O_2 می‌باشد. در اینجا نیز مشهود است که افزودن مخلوط آمونیوم اگزالات/ استرانسیم کربنات در فرمولاسیون «S-2» سبب افزایش دمای این پیک گرمaza به میزان $8/1^{\circ}\text{C}$ در مقایسه با فرمولاسیون پایه شده است. دلیل این مشاهدات آن است که CO_2 حاصل از واکنش بالا سطح سوزش را به طور کامل پوشانده و از پیشرفت واکنش‌ها جلوگیری می‌کند. در نتیجه سبب کاهش انتقال حرارت از فاز گازی به سطح سوزش شده، که در نهایت منجر به افزایش دمای پیک گرمaza بالای AP می‌شود. همان‌طور که در بالا ذکر شد پیک گرمaza مشاهده شده در $534/3^{\circ}\text{C}$ مربوط به تجزیه $\text{Sr}(\text{ClO}_4)_2$ می‌باشد.

۴- حساسیت دمایی

به طور کلی سرعت سوزش مواد پرانرژی با مشخص بودن دو پارامتر تعیین می‌گردد. یکی پارامتر فاز گازی φ است که با خواص فیزیکی و شیمیایی در فاز گازی تعیین شده و دیگری پارامتر فاز متراکم Λ می‌باشد که با خواص فیزیکی و شیمیایی در فاز متراکم تعیین می‌گردد [۲۱ و ۲۰، ۱۰].

$$r = \alpha_s \phi / \psi \quad (11)$$

$$\phi = (\text{dT}/\text{dx})_{s,g} \quad (12)$$

$$\psi = T_s - T_0 - Q_s / c_p \quad (13)$$

$$\alpha_s = \lambda_g / \rho_p c_p \quad (14)$$

که در اینجا α_s نفوذپذیری حرارتی در سطح سوزش، T_s (K) گرادیان دمایی در منطقه گازی در سطح سوزش، $(T_s - T_0)/m$ دما در سطح سوزش، (Q_s/m) دما در فاز جامد، (λ_g/c_p) گرمایی واکنش در سطح سوزش، C_p (kJ/kgK) ظرفیت گرمایی در فاز متراکم، ρ_p (kg/m³) هدایت حرارتی در فاز گازی می‌باشد [۲۰ و ۲۱].

وقتی از شکل لگاریتمی معادله سرعت سوزش داده شده در معادله (۱۱) نسبت به دمای اولیه در فشار ثابت مشتق‌گیری شود، معادله حساسیت دمایی به صورت زیر به دست می‌آید.

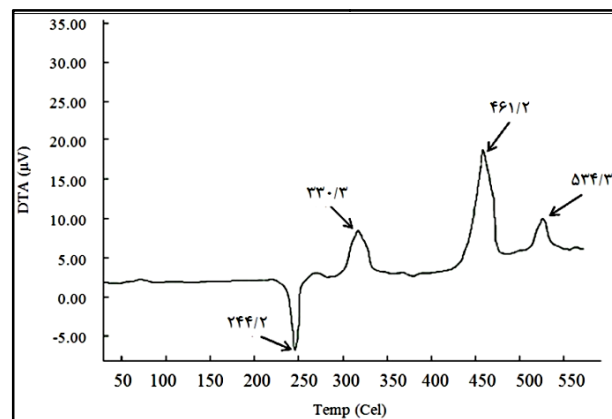
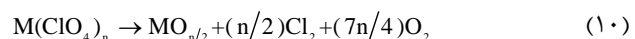
$$\sigma_p = (\partial \ln \phi / \partial T_0)_p - (\partial \ln \psi / \partial T_0)_p = \Phi + \Psi \quad (15)$$

که در اینجا

$$\Phi = (\partial \ln \phi / \partial T_0)_p \quad (16)$$

$$\Psi = -(\partial \ln \psi / \partial T_0)_p = \frac{1 - (\partial T_s / \partial T_0)_p}{T_s - T_0 - Q_s / c_p} \quad (17)$$

به طور کلی پرکلرات‌های فلزی با توجه به ویژگی‌های یون مثبت (فلز) به اکسیدها یا کلریدهای فلزی تجزیه می‌شوند که نحوه این تجزیه در معادلات واکنش (۹) و (۱۰) آمده است.



شکل ۳- متحنی DTA برای فرمولاسیون «S-2».

واکنش‌ها در معادلات (۹) و (۱۰) مطابق قانون انرژی آزاد گیبس محصولات، به صورت خود به خودی می‌باشد. با استفاده از داده‌های ترمودینامیکی، انرژی آزاد گیبس برای استرانسیم کلرید دست می‌آید. از این رو استرانسیم پرکلرات با توجه به انرژی آزاد گیبس محصولات، مطابق معادله واکنش (۳) ترجیحاً به استرانسیم کلرید تجزیه می‌شود (به دلیل $\Delta G_f^0 < 0$ و انجام واکنش به صورت خود به خود). با توجه به شکل (۳) مشاهده می‌شود که $\text{Sr}(\text{ClO}_4)_2$ در مقایسه با HClO_4 پایدارتر می‌باشد چرا که دمای پیک تجزیه $\text{Sr}(\text{ClO}_4)_2$ برابر با $534/3^{\circ}\text{C}$ می‌باشد که از دمای پیک تجزیه HClO_4 بالاتر می‌باشد. بنابراین مشخص می‌شود که افزودن استرانسیم کربنات سبب افزایش دمای پیک گرمaza بالای AP می‌شود. از طرفی تجزیه SrCl_2 حاصل از تجزیه $\text{Sr}(\text{ClO}_4)_2$ بسیار سخت بوده و از این رو سطح سوزش را پوشانده و از تجزیه AP در فاز متراکم جلوگیری می‌کند. در نتیجه سبب افزایش دمای پیک گرمaza بالای AP می‌شود. پیک گرمaza مشاهده شده در $330/3^{\circ}\text{C}$ مربوط به تجزیه جزئی AP و تشکیل حدواسط می‌باشد. با توجه به شکل (۳) مشاهده می‌شود که افزودن مخلوط آمونیوم اگزالات/ استرانسیم کربنات در فرمولاسیون «S-2» سبب افزایش دمای پیک گرمaza به میزان $4/1^{\circ}\text{C}$ در مقایسه با فرمولاسیون پایه شده است. دلیل این مشاهدات آن است که CO حاصل از تجزیه آمونیوم اگزالات با O_2 حاصل از تجزیه HClO_4 واکنش داده و از طرفی واکنش CO با O_2 ، تجزیه $\text{Sr}(\text{ClO}_4)_2$ را کاتالیز کرده و از بازدارندگی آن برای تجزیه AP می‌کاهد. پیک گرمaza

کاهش می‌یابد. کاهش Ψ مطابق معادله (۱۵) منجر به کاهش حساسیت دمایی (σ_p) پیشرانه‌های AP/HTPB می‌شود. برای فرمولاسیون «S-2» افزودن مخلوط آمونیوم اگزالات/استرانسیم کربنات در پیشرانه‌های مرکب AP/HTPB، منجر به کاهش σ_p می‌شود که احتمالاً به دلیل اثر دوجانبه‌ی آمونیوم اگزالات و استرانسیم کربنات باشد، به عبارت دیگر مخلوط آمونیوم اگزالات/استرانسیم کربنات باعث کاهش حرارت آزاد شده در سطح سوزش و همچنین افزایش دمای سطح سوزش می‌شود. علاوه بر این اثر مخلوط آمونیوم اگزالات/استرانسیم کربنات می‌تواند به دلیل وقوع واکنش گرمایی در فاز متراکم باشد که وابستگی کمی به دمای اولیه دارد. با توجه به معادله (۱۷) مشاهده می‌شود که مقدار Ψ با افزایش دمای سطح سوزش و همچنین کاهش حرارت آزاد شده در سطح سوزش کاهش یافته و در نهایت (مطابق معادله (۱۵)) منجر به کاهش حساسیت دمایی پیشرانه‌های AP/HTPB می‌شود.

۴- نتیجه‌گیری

در این تحقیق نتایج آزمون دمای خود اشتعالی نشان داد که افزودن آمونیوم اگزالات یا مخلوط آمونیوم اگزالات/استرانسیم کربنات، باعث افزایش دمای تجزیه آمونیوم پرکلرات شده و در نتیجه سبب کاهش سرعت سوزش در پیشرانه‌های مرکب AP/HTPB می‌شود. همچنین افزودن آمونیوم اگزالات در فرمولاسیون پیشرانه‌های مرکب AP/HTPB سبب کاهش چگالی و افزودن مخلوط آمونیوم اگزالات/استرانسیم کربنات سبب افزایش چگالی می‌شود. نتایج آزمون سرعت سوزش و حساسیت دمایی نشان داد که حساسیت دمایی سرعت سوزش پیشرانه‌های مرکب AP/HTPB با افزودن آمونیوم اگزالات یا مخلوط آمونیوم اگزالات/استرانسیم کربنات کاهش می‌یابد. حساسیت دمایی سرعت سوزش فاز متراکم نقش برجسته‌تری را در σ_p ایفا می‌کند. با افزودن آمونیوم اگزالات حرارت آزاد شده در سطح سوزش کاهش یابد. مطابق معادله (۱۷)، Ψ با کاهش حرارت آزاد شده سطح (Q_c) کاهش می‌یابد. کاهش Ψ مطابق معادله (۱۵) منجر به کاهش حساسیت دمایی (σ_p) پیشرانه‌های AP/HTPB می‌شود. افزودن مخلوط آمونیوم اگزالات/استرانسیم کربنات باعث کاهش حرارت آزاد شده در سطح سوزش و همچنین افزایش دمای سطح سوزش می‌شود. مقدار Ψ با افزایش دمای سطح سوزش و همچنین کاهش حرارت آزاد شده در سطح سوزش کاهش یافته و در نهایت (مطابق معادله (۱۵)) منجر به کاهش حساسیت دمایی پیشرانه‌های AP/HTPB می‌شود که احتمالاً به دلیل اثر دوجانبه‌ی آمونیوم اگزالات و استرانسیم کربنات می‌باشد.

۵- تقدیر و تشکر

نویسنده‌گان مقاله از مرکز تحقیقات موسم دانشکده و پژوهشکده فنی و

از معادله (۱۵) مشخص می‌شود که حساسیت دمایی شامل دو پارامتر Φ و Ψ می‌باشد. در اینجا Φ حساسیت دمایی فاز گازی نامیده شده که با پارامترهای فاز گازی تعیین می‌شود و Ψ حساسیت دمایی فاز متراکم نامیده شده که با پارامترهای فاز متراکم تعیین می‌شود و در مقایسه با حساسیت دمایی فاز گازی نقش برجسته‌تری را در σ_p ایفا می‌کند. هر دو این پارامترها دارای واحد (K) می‌باشند [۲۵] و [۲۴]، [۷]، [۱۰].

جدول ۲- سرعت سوزش و حساسیت دمایی سرعت سوزش فرمولاسیون‌های مختلف.

A-2	S-2	پایه	فرمولاسیون پیشرانه
.	۳	.	درصد استرانسیم کربنات
۴	۱	.	درصد آمونیوم اگزالات
۵/۳۵۳	۴/۶۹۴	۵/۹۲۹	سرعت سوزش، mm/s، در فشار ۷۰ bar
۵/۰۰۹	۴/۵۵۴	۵/۴۹۶	+۲۵°C
۴/۷۱۲	۴/۲۸۴	۴/۹۶۰	-۲۵°C
۰/۰۰۱۵	۰/۰۰۱۱	۰/۰۰۲۱	σ_p (۱/K)
٪۲۸/۶	٪۴۷/۶		درصد کاهش حساسیت دمایی

افزودن مخلوط آمونیوم اگزالات/استرانسیم کربنات در فرمولاسیون «S-2»، سبب کاهش حساسیت دمایی سرعت سوزش (۰_p) به میزان ۴/۴۷٪ در مقایسه با فرمولاسیون پایه می‌شود در حالی که افزودن ۴/۶ آمونیوم اگزالات در فرمولاسیون «A-2»، سبب کاهش حساسیت دمایی سرعت سوزش (۰_p) به میزان ۶/۲۸٪ در مقایسه با فرمولاسیون پایه می‌شود (جدول ۲). در واقع افزودن مخلوط آمونیوم اگزالات/استرانسیم کربنات در فرمولاسیون «S-2» نسبت به فرمولاسیون «A-2» که فقط دارای آمونیوم اگزالات می‌باشد، حساسیت دمایی را به میزان ۱۹٪ بیشتر در مقایسه با فرمولاسیون پایه کاهش می‌دهد. از این رو مخلوط آمونیوم اگزالات/استرانسیم کربنات افزودنی بهتری برای کاهش حساسیت دمایی (۰_p) در پیشرانه‌های مرکب AP/HTPB در مقایسه با آمونیوم اگزالات می‌باشد.

مقایسه این نتایج با آنچه لی و همکاران گزارش کرده اند نشان از کاهش بیشتر حساسیت دمایی (۲/۸۶٪ در مقابل ۸/۲۳٪) در اثر افزایش آمونیوم اگزالات به پیشرانه مرکب AP/HTPB/Al دارد در حالیکه نتایج مشابهی در مورد تأثیر افزایش مخلوط آمونیوم اگزالات/استرانسیم کربنات به همین پیشرانه مرکب به دست آمد [۷].

۳- تحلیل حساسیت دمایی

برای فرمولاسیون «A-2» محصولات تجزیه آمونیوم اگزالات (NH₃.H₂O و CO₂) باعث جابجایی موازنہ واکنش شیمیایی تجزیه AP به سمت چپ می‌شوند و بدین ترتیب از تجزیه AP جلوگیری می‌کنند. علاوه بر این باعث می‌شوند حرارت آزاد شده در سطح سوزش کاهش یابد. مطابق معادله (۱۷)، Ψ با کاهش حرارت آزاد شده سطح (Q_c)

مهندسی دانشگاه جامع امام حسین (ع) به خاطر حمایت‌های مالی
برای انجام این تحقیق قدردانی و تشکر می‌نمایند.

مراجع

- [13] Atwood, A. I.; Boggs, T. L.; Curran, P. O.; Parr, T. P.; Hanson-Parr, D. M.; Price, C. F.; Wiknich, J. "Burning Rate of Solid Propellant Ingredients, Part 2: Determination of Burning Rate Temperature Sensitivity"; *J. Propul. Power* 1999, 15, 748-752.
- [14] Kubota, N.; Uchiyama, K.; Hirata, N. "Combustion Wave Structure of Ammonium Perchlorate Composite Propellants"; *J. Propul.* 1986, 2, 296-300.
- [15] Cohen, N. S.; Flanigan, D. A. "Mechanisms and Models of Solid-Propellant Burn Rate Temperature Sensitivity: A Review"; *AIAA* 1985, 23, 1538-1547.
- [16] Yang, V.; Brill, T. B.; Ren, W. Z. "Solid Propellant Chemistry, Combustion, and Motor Interior Ballistics", Published by the American Institute of Aeronautics, Inc, 1801 Alexander Bell Drive, Reston, Virginia 20191-4344, 2000, 185.
- [17] Manship, T. D. "High Burn Rate Solid Composite Propellants"; A Thesis, Master of Science in Aeronautics and Astronautics, Purdue University, West Lafayette, Indiana, 2010.
- [18] Kohga, M. "Burning Characteristics and Thermochemical Behavior of AP/HTPB Composite Propellant Using Coarse and Fine AP Particles", *Propellants, Explos., Pyrotech.* 2011, 36, 57-64.
- [19] Iqbal, M. M.; Liang, W. "Modeling the Moisture Effects of Solid Ingredients on Composite Propellant Properties", *Aerospace Sci. Technol.* 2006, 10, 695-699.
- [20] Ghorpade, V. G.; Dey, A.; Jawale, L. S.; Kotbagi, A. M.; Kumar, A.; Gupta, M. "Study of Burn Rate Suppressants in AP-Based Composite Propellants", *Propellants, Explos., Pyrotech.* 2010, 35, 53-56.
- [21] Kuo, K. K.; Summerfield, M. "Fundamentals of Solid Propellant Combustion"; Published by the American Institute of Aeronautics and Astronautics. Inc, 1633 Broadway. New York. N.Y. 10019, 1984, 90.
- [22] Kishore, K.; Sunitha, M. R., "Effect of Transition Metal Oxides on Decomposition and Deflagration of Composite Solid Propellant Systems: A Survey"; *AIAA* 1979, 17, 1118-1125.
- [23] Joshi, S. S.; Patil, P. R.; Krishnamurthy, V. N. "Thermal Decomposition of Ammonium Perchlorate in the Presence of Nanosized Ferric Oxide"; *Def. Sci. J.* 2008, 58, 721-727.
- [24] Kubota, N. "Propellants and Explosives: Thermochemical Aspects of Combustion"; WILEY-VCH Verlag GmbH & Co. KgaA, 2002.
- [25] Cohen-Nir, E. "Temperature Sensitivity of the Burning Rate of Composite Solid Propellants"; *Combust. Sci. Technol.* 1974, 9, 183-194.
- [1] Thakre, P.; Yang, V. "Solid Propellants"; *Encyclopedia of Aerospace Engineering* 2010, 1-10.
- [2] Gaunce, M. T.; Osborn, J. R. "Temperature Sensitivity Coefficients of Solid Propellant Burning Rate"; *Acta Astronautica* 1986, 13, 127-130.
- [3] Nguyen, T. T. "Burn Rate Temperature Sensitivity of Solid Rocket Propellants: an Overview of Current Status of Experimental Results"; 22nd Int. Annual Conference of ICT, Karlsruhe, Germany, 1991, 41/1-18.
- [4] Kishore, K.; Sridhara, K. "Effect of Temperature on the Burning Rate of Solid Propellants : A Review"; *J. Propul.* 1986, 2, 193-194.
- [5] Agrawal, J. P. "High Energy Materials Propellants, Explosives and Pyrotechnics"; WILEY-VCH Verlag GmbH & Co. KGaA, Weinheim, 2010.
- [6] Kulkarni, V. V.; Kulkarni, A. R.; Phawade, P. A.; Agrawal, J. P. "A Study on the Effect of Additives on Temperature Sensitivity in Composite Propellants"; *Propellants, Explos., Pyrotech.* 2001, 26, 125-129.
- [7] Sun, Y. L.; Li, S. F.; Ding, D. H. "Effect of Ammonium Oxalate/Strontium Carbonate on the Burning Rate Characteristics of Composite Propellants"; *J. Therm. Anal. Calorim.* 2006, 86, 497-503.
- [8] Hamke, R. E.; Gaunce, M. T.; Osborn, J. R. "The Effect of Pressure Exponent on Temperature Sensitivity"; *Acta Astronautica* 1987, 15, 377-382.
- [9] Kubota, N.; Okuhara, H. "Burning Rate Temperature Sensitivity of HMX Propellants"; *J. Propul.* 1986, 5, 406-410.
- [10] Kubota N.; Miyazaki, S. "Temperature Sensitivity of Burning Rate of Ammonium Perchlorate Propellants"; *Propellants, Explos., Pyrotech.* 1987, 12, 183-187.
- [11] Kubota, N.; Miyata, K. "Inhibition Reaction of SrCO₃ on the Burning Rate of Ammonium Perchlorate Propellants"; *Propellants, Explos., Pyrotech.* 1990, 15, 127-131.
- [12] Nguyen, T. T. "New Insights into the Combustion of AP/HTPB Rocket Propellants: The Catalyst Active Sites and a Combustion Flame Model for the Ferrocene-Catalysed Combustion"; Defense Science & Technology Organisation (DSTO), 1996, 679-692.